

苏联国立氮素工业研究設計院

# 氮素工业研究报告汇编

## 第二輯

苏联国立氮素工业研究設計院 編



PDG

МХП СССР  
—  
ТРУДЫ  
ГОСУДАРСТВЕННОГО  
НАУЧНО-ИССЛЕДОВАТЕЛЬСКОГО  
И ПРОЕКТНОГО ИНСТИТУТА  
АЗОТНОЙ ПРОМЫШЛЕННОСТИ  
ВЫПУСК 2  
ГОСХИМИЗДАТ (МОСКВА · 1953)

氮素工业研究报告汇编

第二辑

刘建勋等译 文学敏等校

书号：(内) 286

定价：0.89元

化学工业出版社(北京安定门外和平北路)出版

北京市书刊出版业营业许可证字第092号

化学工业出版社印刷厂印刷 内部发行

1959年12月第1版 1959年12月第1版第1次印刷

开本：850×1168 1/12 字数：67千字

印张：5<sup>14</sup>/12 印数：3000

苏联国立氮素工业研究設計院

# 氮素工业研究報告汇編

第二輯

苏联国立氮素工业研究設計院編

刘建勋等譯 文学敏等校

化学工业出版社

苏联国立氮素工业研究設計院氮素工业研究报告汇編是由苏联国立氮素工业研究設計院收集与整理了該院研究工作者近20年来的研究报告汇編而成的。目前我們已收到了1~8輯。为了把他們的研究成果系統地介紹給我国从事氮素工业及有关方面的研究、設計、生产、建設的同志們，以便进一步提高我国氮素工业的科学技术水平，决定逐輯翻譯出版。

本汇編各輯中，包括有物理化学研究、动力学与催化反应、合成氨用气体的制造、气体的净化、化工过程及设备、电化学与腐蚀及实验室研究的方法与分析等部分。这些研究报告，都环绕着氮素工业生产的各个有关方面，并以氮的合成为主体，补充了合成氨生产过程的产品及副产品的综合利用等有关资料。

本书系汇編的第二輯，由刘建勋、孙昌宝、范迪曾、冷寅正、管多生等同志翻譯，文学敏、郑孝揚、孙为敏等同志校訂。

本书可供从事合成氨工业及有关方面的研究、設計、生产、建設的技术人員閱讀，也可供高、中等化工学院固定氮专业的教師及高年级学生学习、参考。

# 目 录

## 一、物理-化学研究

气体和混合气体的粘度(报导二)——H.Ф.哥卢别夫, B.A.彼特罗夫	5
高压下液—气界面的表面张力(报导二)——H.E.博利沙科夫, I.T.列夫钦科	33
高压下液—气界面的表面张力(报导三)——I.T.列夫钦科, H.E.博利沙科夫	46
钙—钠有机离子交换剂体系的平衡——M.A.米尼奥维奇, O.D.符里德曼	52

## 二、动力学与催化反应

甲烷与水蒸汽在镍触媒上作用的反应动力学——A.G.列伊布什, M.A.柳德科夫斯卡娅	62
在烃类缓慢氧化反应生成中间产物时压力的作用——M.C.弗尔曼, A.I.舍斯塔科娃, И.Ш.拉德列—杰夏特尼克	77
含氯毒物对合成氨生产所采用的各种粒度的触媒的能力的影响——M.T.鲁索夫, H.H.西多罗夫, O.A.斯特列利佐夫	80
氢原子与甲烷的相互作用——E.H.叶烈明	91
氢在电火花中氧化反应的活化本质——E.H.叶烈明, B.G.柳德科夫斯卡娅	98

## 三、煤的气化

固体燃料的化学活性(报导二)——M.B.科罗列娃	110
--------------------------	-----

## 四、气体的净化

用氧化锌吸收剂脱除气体中的有机硫化物(报导一)——H.И.泽耳文斯基, C.IO.格尔奇科娃	131
--	-----

## 五、化学装备

脱除水中二氧化碳的装置——H. 凡·邦达烈夫 ..... 158

## 六、实验室研究的分析及方法

在氮肥生产的分析控制中离子交换剂的运用——M.A.米尼奥维奇,

Φ.M.腊波波尔特, A.C.坎托尔 ..... 162

极谱定氯法——H.M.康托罗维奇 ..... 166

用BTII分析器测定在含乙烯气体中乙炔的含量——A.B.沃耳科夫 ..... 173

# 一、物理-化学研究

## 气体和混合气体的粘度

(报 导 二)

技术科学博士 И.Ф.哥盧別夫

B.A.彼特羅夫

### 1. 气体粘度的試驗測定

在大气压和各种溫度下，对于試驗测定气体及混合气体的粘度，进行了非常精确的研究。在这些研究中，試驗技术已达十分完善。最近，并在高压下进行了大量的研究工作。

测定高压气体的粘度有很大困难，所得的試驗数据也不如常压时的那样精确。因此，为了研究高压气体的粘度，则必需进行大量的試驗研究工作。在本文中我們將詳細地介紹測定的方法和研究时所采用的粘度計装置。

最常采用的測定气体粘度的方法有：a)毛細管法——即使被試气体流过直径細小的管子来測定它的粘度；b)使重物在待試气体中降落的方法；c)根据对圓盤(悬挂在待試气体中)旋轉振蕩的阻尼來測定粘度的方法。

这些方法中，只有毛細管法具有最为严整的并为試驗所証实的理論基础。

正如大家所知道的，液体和气体的流动分为层流和湍流两种。

在一定的流动条件下，层流变为湍流的界限决定于某一无因次的数值——雷諾参数。对于光滑的直管來說，这个称为雷諾临界值的数值系等于：

$$Re_k = \frac{w d}{\eta} = \text{常数} \approx 2300$$

式中  $w$ ——气体前进运动的平均速度；

$d$ ——管径;

$v$ ——运动粘度。

由此方程式可以看出，当其他条件相等时，管径愈小，则由层流变为湍流的“交界处”的速度——临界速度则愈大。所以，即使前进运动速度很大，在直径很小的管子(毛细管)中也能得到气体的层流。

因为在层流时没有横向速度，所以可以解决当层流稳定时的速度分布問題。

此时所得出的方程式，可使代入該方程式的运动粘度系数  $\eta$  的試驗测定的精确方法得以实现。

层流运动的基本方程式是嘉益-泊賽 (Гаген-Пуазейлья) 方程式：

$$V = \frac{\pi(P_1 - P_2)r^4}{8L\eta} \quad (1)$$

式中  $V$ ——单位時間內流过管子的气体或液体的体积；

$L$ 和 $r$ ——毛細管的长度和半径；

$P_1$ 和 $P_2$ ——毛細管入口和出口处的压力。

用毛細管粘度計測定粘度主要用这个方程式作为基础，但是在实际使用时，还應該在方程式中代入下列校正值：

- 1) 动能的校正值；
- 2) 滑动的校正值；
- 3) 流过毛細管的气体膨胀的校正值。

每个校正值的相对大小均由試驗条件来决定。对于低压气体，必須考慮后两个校正值，舍去第一个校正值；对于高压气体則正相反，只有动能的校正值才具有重要意义。

## 2. 粘 度 計

本文作者研究了五种粘度計的結構。

### 第一種方案

第一種方案的粘度計裝置示于图 1。用压缩机 5 将待試气体从

气柜 4 压至高压容器 6。然后，气体通过滤器 7 和调节阀 1 送至蛇管式热交换器 8。热交换器系由内径为 1.5 毫米、外径为 5 毫米的钢管制成。气体在热交换器内加热到恒温器的温度，然后进入试验管 10（玻璃毛细管在试验管内）。试验管的两端与差压计 11 相连。在试验管入口处，穿过酚醛胶布板的密封垫插入铁-康铜热电偶 12。

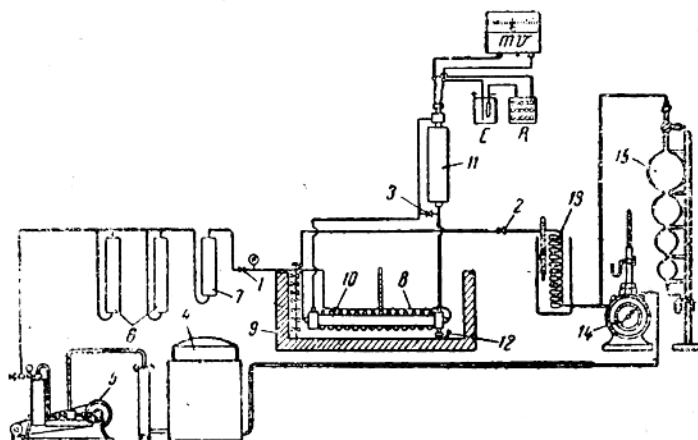


图 1 测定高压气体粘度的装置(第一种方案)

1—試驗管进气閥；2—試驗管放气閥門；3—中間閥；4—气柜；5—压缩机；  
6—高压容器；7—过滤器；8—蛇管式热交换器；9—恒温器；10—試驗管；  
11—差压計；12—热电偶；13—水冷却器；14—气表；15—测定用的玻璃量筒

将气体充入装置及由装置中放出气体时(放出压力)，均应打开閥 3，但在試驗时，此閥門則應关严。使气体由試驗管通过閥門 2 降压到大气压，然后测定气体的体积(体积速度大时，用气表 14 测定体积；体积速度小时，则以测定用的玻璃量筒 15 来测定体积)。根据在某一時間內流过、并在大气压下测定的气体体积，按照数据  $P$ 、 $V$ 、 $T$ (对于待試气体來說，这些数据應該是已知的) 即可算出在試驗溫度和壓力下气体的体积。

气体在送入气表或测定用量筒以前，需通过水冷却器 13，以便冷却到室溫。

在讀出讀數时，气体从容器 6 經過閥門 1 均匀地送入試驗管，

相应地也有同样多的气体经过阀门 2 放出，这时，毛细管中的压力和压力降可保持不变。

这样，根据试验结果便可确定在试验条件和在某一测定的压力降下，在单位时间内通过毛细管的气体体积。如毛细管的几何尺寸是已知时，考虑到毛细管法所有的校正值，便可根据气体体积，按照泊赛方程式算出在试验温度和压力下的气体粘度系数。

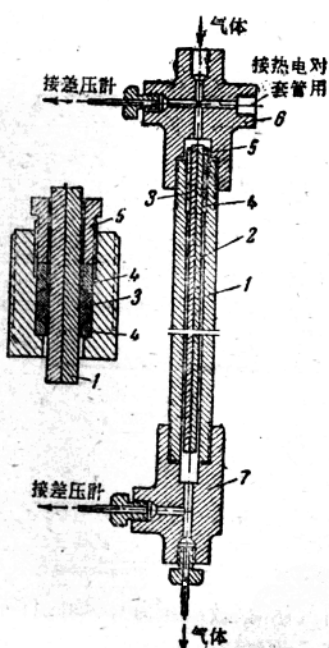


图 2 試驗管

1—玻璃毛細管；2—一定心环；3—填料；4—  
钢质套筒；5—压紧螺栓；6—钢质四通管；  
7—钢质三通管

試驗管(图 2)由長約 1 米的鋼質圓筒制成，管子內徑 11 毫米，外徑 25 毫米。該管一端与四通管 6 相連，另一端与三通管 7 相連。在四通管和三通管上备有通入和放出气体、连接差压計和插入热电偶用的孔。

位于钢管内的玻璃毛细管 1，其一端用填料固定和密封，另一端有定心环 2。填料 3 用浸了胶木漆的皮革或细石棉繩制成，用压紧螺栓 5 将其夹在两个钢管圈 4 之间。

差压計(图 3)由带盖 2 的不大的高压容器 1 组成。在盖(密封塞)上挿入钢管三通管 3，借插头 4 (有酚醛胶布板的密封垫 5) 通过三通管通入气体和插入引入线 6。

蓋的下邊有填料函。填料

函由两个圓錐形金属垫圈 7、填料 8 (皮革的或石棉的) 和压紧螺栓 9 组成。填料函系用来夹紧和密封玻璃管 10。該管的上部扩大，以避免水銀从差压計中跑出；在管的扩大部分上连接带有孔 12 的广口玻璃管 11。

引入綫 6 由三段組成：一段為粗銀絲 13（通過密封插頭 4），另一小段為粗鉛絲 14，第三段為用細鉛絲製成的測定段 15。引入綫段 13、14 插在玻璃管 16 和 17 內，以便拉緊細鉛絲 15，防止水銀落到銀絲上，並易于將引入綫連同三通管 3 一起從差壓計中拔出。在玻璃管 17 的兩端有孔 12。

引入綫的下端淹沒在水銀中，水銀是活動觸點，通過高壓容器外殼接地。

在串聯電路中包括：蓄電池—變阻箱—引入綫—地。用并聯的電流計測定在引入綫—地這一段上的電壓。試驗時，毛細管兩端的壓力差引起管 10 內水銀面上升。因水銀淹沒了細鉛絲 15 而消去了一部分電阻，因而在引入綫測定段上的電壓也減小了。因此，一定的壓力降完全相當於一定的電壓降，此數值可由電流計測出。差壓計可按大氣壓下的水柱校準。校準的結果用於高壓下〔達 1000（氣壓）〕，也不会發生明顯的誤差，因為水銀的體積和鉛絲測定段的電阻在這個壓力範圍內的變化是及其微小的。在我們的試驗中，引入綫測定段的長度一種為 50 毫米，另一種為 100 毫米。

在引入綫測定段全長上的電壓降，可用有 250 分度的電流計測定。因此，當測定段的長度為 50 毫米時，刻度盤上每一分度相當於 0.2 毫米水柱，測定段長 100 毫米時，每一分度相當於 0.4 毫米水柱。

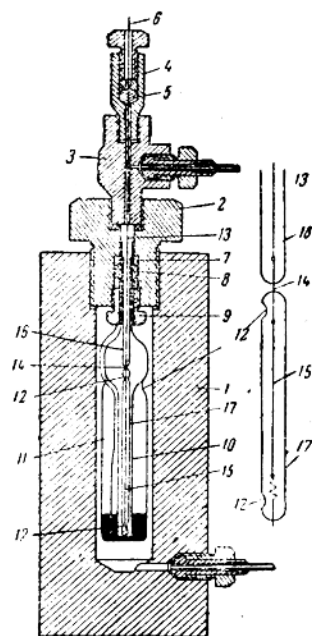


图 3 差压计

1—高压容器；2—盖；3—铜三通管；4—密封插头；5—酚醛胶布板密封垫；6—引入电线；7—铜垫圈；8—填料；9—压紧螺栓；10—玻璃管；11—广口玻璃管；12—孔；13—粗银丝；14—粗铅丝；15—细铅丝；16、17—玻璃管

## 第二种方案

毛細管和差压計連在一起的装置示于图 4 中。待試气体可用压缩机送至高压容器，然后由高压容器經閥門 1 进入蛇管式热交换器 6，在此加热至恒溫器的溫度（高压容器 4 同蓋 5 和热交换器 6 均放在油恒溫器內）。

把气体充入装置时，中間閥 2 应該打开，以便气体可由第二个进口 7 进入粘度計。在上述条件下，当把气体充入粘度計或由其中放出气体时，在毛細管两端的压力与粘度計中水銀的压力都是一样的。

在进行試驗时，气体通过閥門 3 減压至大气压（中間閥 2 应該

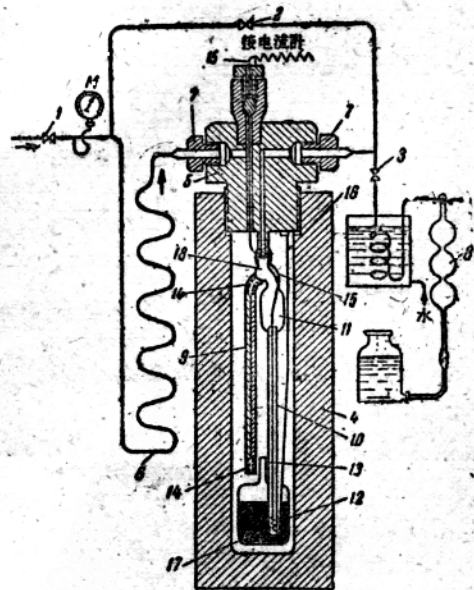


图 4 测定高压气体粘度的装置(第二种方案)

1—装置的进气閥門；2—中間閥；3—装置的放氣閥門；4—高压容器；5—容器 4 的蓋；6—蛇管热交换器；7—高压进口；8—测定用量筒；9—玻璃毛細管；10—玻璃管(带有擴大部分11和玻璃瓶12)；13—玻璃瓶12的出口；14—过滤器；15, 16—引入管；17—玻璃管10上的孔；18—厚壁玻璃管

关严)。

在减压的同时，经阀门1送入气体，以便在读出读数时，粘度计中的压力可维持不变，并使压力差也保持不变。在试验时间内流过粘度计的气体体积，经减压后用量筒8测出，然后再换算成在试验条件下的体积。

当压力不变，和气体均匀流过阀门3时(这说明气体是均匀地流过毛细管的)，粘度计中的压力差则达到固定不变；压力差的数值，如第一种方案一样，可用铂丝测定段上测定电压的方法由电流计来测定。

玻璃粘度计由毛细管9和管10组成。管10上面有扩大部分11，下面有玻璃瓶12。瓶10经过孔13与周围介质连通。毛细管的两端有分劈石棉纤维的过滤器14，以防止毛细管被污染。将铂丝( $d=0.5$ 毫米)制的引入线段15和16引入管10。沿管中心线有直径为0.1毫米的细铂丝(测定段)，细铂丝为下面的铂弹簧所拉紧。粘度计的上端(厚壁玻璃管18)利用浸了含滑石粉的水玻璃的石棉绳同高压容器顶部严密连接(温度不高时，可以用胶管)。

必须指出，试验温度变化时，由于电流计刻度起点的移动，会使铂丝测定段的电阻的绝对值有所变化。所以，当试验温度改变时，每次都要把电流计的指针定在预先选定的刻度起点上，只要改变串联的电阻，这一点很容易办到(参看第一种方案的装置图)。

测定粘度计中压力降的电流计，其刻度可按大气压下的水柱校准。为此，把流过气体的粘度计(这时粘度计是在高压容器内)平行地与另一个压力计——灌水的U形玻璃管相连。

### 第三种方案

在第一种方案和第二种方案的装置上作试验有某些困难，因为必须从在大气压下测定的气体体积算出试验条件下的气体体积，可是在所需温度和压力下的气体的 $P$ 、 $V$ 和 $T$ 常常又是未知的。在试验过程中使压力和压力降保持不变也是困难的。

在图5所示的装置中，在测定粘度时不必量出流过毛细管的气体体积和毛细管中的压力降。

装置由內装玻璃粘度計的高压容器 4 組成，放在油恒溫器中。在蓋 5 內有两个进气口，引入綫 6 也通过其中一个进气口。打开中間閥 2，气体通过閥門 1 充入裝置。試驗时，閥門 1 和 2 均关闭，閥門 3 打开。气体通过閥門 3 放出。此时，气体所具有之速度，使玻璃球  $v_1$  和  $v_2$  周圍空間中的压力与球內的压力产生某一定的差。这一点很容易办到，因为压力通过毛細管达到平衡是比较缓慢的。

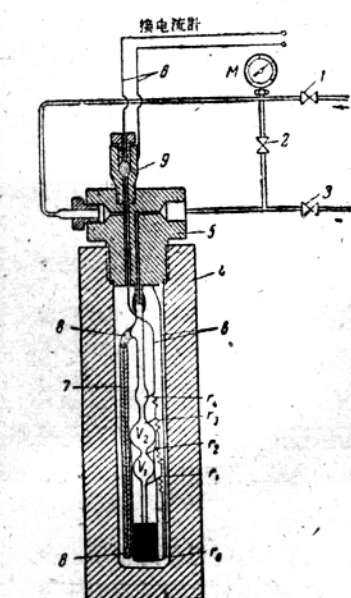


图 5 测定高压气体粘度的装置  
(第三种方案)

1—裝置的进气閥門；2—中間閥；3—裝置的放气閥；4—高压容器；5—蓋；6—引入綫；7—玻璃毛細管；8—過濾器；9—密封插头； $v_1$ 和 $v_2$ —玻璃球； $r_0$ ,  $r_1$ ,  $r_2$ ,  $r_3$ ,  $r_4$ —帶电阻的鉛触点

因为毛細管的此处的尺寸、玻璃球  $v_1$  和  $v_2$  的容积(相当于在試驗溫度和压力下流过毛細管的气体体积)和压力降是不变的，并且是預定的，所以根据水銀流出的时间，即可很容易算出粘度系数。

带串联电阻的触点  $r_1$ ,  $r_2$ ,  $r_3$  和  $r_4$  可用来确定水銀液面(接电流計)。分劈石棉纖維的过滤器 8 可防止毛細管被污染。在低温时( $100^{\circ}\text{C}$  以下)玻璃粘度計系用胶管与高压容器的盖连接；在高温时则用薄鐵片制的圓筒连接。該圓筒的上端纏有浸过含滑石粉水玻璃

裝置。試驗时，閥門 1 和 2 均关闭，閥門 3 打开。气体通过閥門 3 放出。此时，气体所具有之速度，使玻璃球  $v_1$  和  $v_2$  周圍空間中的压力与球內的压力产生某一定的差。这一点很容易办到，因为压力通过毛細管达到平衡是比较缓慢的。

气体需繼續放出，直到水銀充滿玻璃球  $v_1$  和  $v_2$ ，并且达到触点  $r_4$  为止，此后将閥門 3 关闭(試驗压力只能在关闭了这个閥門以后測量)。

毛細管两端所形成的压力差迫使气体流过毛細管，而水銀則往下降。用秒表記下水銀从  $r_3$  降到  $r_2$ ，和由  $r_2$  降到  $r_1$  (相当于从  $v_2$  和  $v_1$  中流出) 的时间。为使試驗更可靠并控制气体流过毛細管的条件，可采用两个玻璃球。

的石棉繩。为了連接粘度計和容器蓋也可以用小的鉛圓筒，它的一端熔入玻璃中，另一端焊在鋼蓋的連接管上。

#### 第四種方案

能够在高压下同时确定气体和混合气体的可压缩性和粘度的試驗装置，系对于研究气体的物理性 理想的设备。这种装置的示意图示于图 6。

此装置由带盖 5 的高压容器 4 组成。容器內有玻璃粘度計（压缩率-粘度測定計）。

蓋上有两个入口：一个通过粘度計的毛細管与玻璃球  $v_1$  和  $v_2$  相連，另一个同粘度計的外围空間連接。密封于酚醛胶布板錐形塞 8 中的引入綫 6 也通过第二个入口。在入口前有高压管（內径 5 毫米）制成的热交换器 12。

打开中間閥 2，待試气体則可經閥門 1 充入裝置；当达到所需的压力时，则将閥門 1 和 2 关閉。然后，气体开始从玻璃球  $v_1$  和  $v_2$  經過閥門 3 放入大气中，这样便使球內的压力降低。由此形成的压力差迫使水銀上升到球  $v_1$  和  $v_2$  內，并使鉛触点閉合，以便从电流計判定水銀面。从玻璃球中排出的气体体积，从触点  $r_3$  开始測定，触点  $r_4$  的閉合是利用中間閥門 2 来調節的。

球  $v_1$  是否灌滿系按触点  $r_3$  来判定。而球  $v_2$ ，为了更精确起见，系用触点  $r_4$  和  $r_5$  来判定。

从玻璃球排出的气体体积可用干燥的量筒計量。

在試驗初压力 ( $P_H$ ) 和恒溫器 (裝置放在恒溫器中) 的溫度下測定压缩系数的試驗，至此即告結束。

繼之，使水銀升到触点 16，然后将閥門 3 关閉，并在某一試驗終压力 ( $P_K$ ) 和恒溫器的溫度下进行測定粘滞系数的試驗 ( $P_H - P_K$ ) 的压力差相当于设备放出气体(从触点  $r_2$  到触点  $r_4$ )时设备所降低的压力。在我們的試驗中，所放出的气体体积約占高压容器总容积的 1/60。

打开中間閥 2，形成閉合环路，此时在粘度計中水銀面的差即为在毛細管长度上的压力降。由于水銀自身的重力作用，玻璃球中

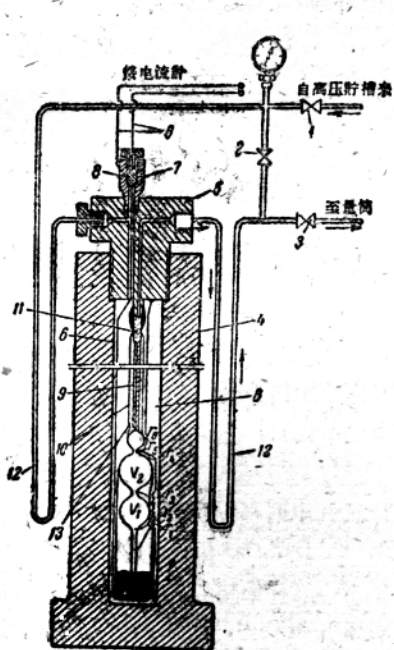


图 6 测定高压气体粘度的装置  
(第四种方案)

1—装置的进气閥；2—中间閥；3—装置的放气閥；  
4—高压容器；5—盖；6—引入綫；7—密  
封插頭；8—酚醛胶布板錐形塞；9—玻璃毛細  
管；10—玻璃管；11—过滤器；12—热交换器；  
13—孔。

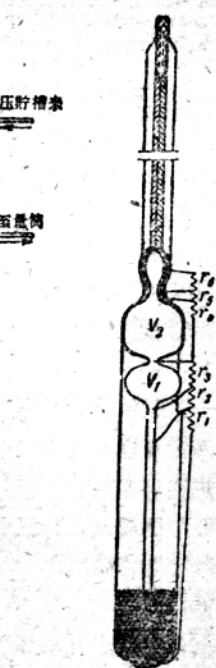


图 7 玻璃制的压缩率-粘  
度测定計(第四种方案)

的水銀面不断下降，迫使气体流过毛細管。

根据测出的水銀从玻璃球  $v_2$  和  $v_1$  中流出的时间（接触  $r_1$ 、 $r_2$  和  $r_3$  的接通）即可算出粘度系数。泊賽方程中的所有其他数值（流过毛細管的气体体积，毛細管的尺寸和毛細管中的压力降）均为常数，并且是预定的。

这样，当水銀在玻璃球  $v_1$  和  $v_2$  中上升时，便可测定气体的压缩系数；当水銀下降时，便可测定粘度系数。

玻璃制的压缩率-粘度测定計单独示于图 7 中。

为了取得必需的温度，将容器4同盖5和热交换器12放在油恒温器中，当温度需超过 $150^{\circ}\text{C}$ 时，则放入电热炉中。温度用三个水银温度计来测量，温度计以不同的深度插入容器4的壁孔中。

曾用第四种方案的装置，测定了各种气体和混合气体的粘度，并在很大的温度和压力范围内在某些条件下测定了它们的压缩率。

### 第五种方案

这个方案特殊的地方是在装入高压容器中的玻璃粘度计方面（图8）。装入粘度计时，要使粘度计倾斜 $90^{\circ}$ ，也就是说，当它处于水平位置时，水银则沿管6布开。当粘度计重新迅速竖直时，水银即处于图右部所示的位置。

这样，为了形成粘度计内水银的液面差（毛细管两端的压力差），必须首先将粘度计倾斜 $90^{\circ}$ 。然后将其放平，放平后再迅速地把它竖起来。

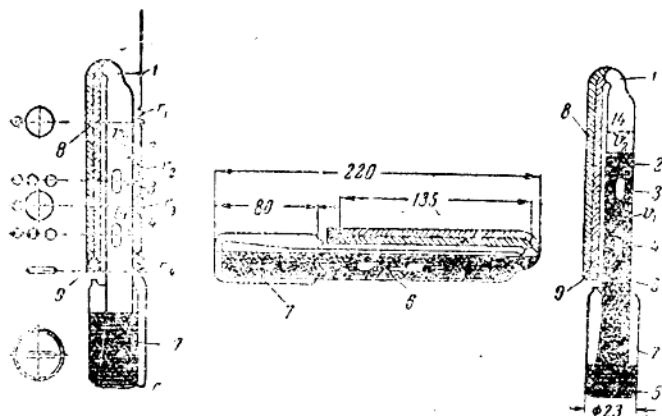


图8 为形成粘度计内水银的液面差，粘度计倾斜所处的位置

1, 2, 3, 4, 5—铂触点；6—断面变化的玻璃管；7—下边的玻璃瓶；

8—毛细管；9—过滤器； $v_1$ —固定容积； $v_2$ —附加容积；

$r_1, r_2, r_3, r_4$ —电阻

为了更明显起见，在该图的左部示出了粘度计不同高度上的剖视图，并标出了仪器的主要尺寸。这种粘度计用来测定粘度非常方